

九州大学工学部 正員 粟谷 陽一  
 同上 " の梅田 哲也  
 建設省 " 田中 慶一郎

## I. まえがき

河口感潮部、海域あるいは最終沈澱池において底泥が撹き上げられると水質を悪化させる。汚泥の性質は砂粒の性質とは異なり複雑でしかもこの性質は大幅に変化するため撹き上げられる際の力学的機構はほとんど明らかにされていない。本研究は底泥の撹き上げ機構を明らかにするための基礎として汚泥の動的性質、特に水流から伝達されるエネルギーの消費に關係する見かけ粘性、および重複波のもとでの汚泥の挙動について検討を加えたものである。

## II. 実験装置、および方法

降伏応力と塑性粘度の測定 ① 内径 19mm 中全長 2.5m の管に汚泥を流し損失水頭(測定区間 1.4m)と流量を測ることにより Buckingham の式を用いて求めめる。② コーンプレート粘度計(コーン径 8mm<sup>2</sup>, 傾角 123 度)を用いて、 $\tau_0 = \mu_w \cdot 2\pi N$  ( $\mu_w$ : 水の粘性係数,  $N$ : 回転数) から撹き上げが生じる時の剪断力を求める。

造波装置 長さ 6m, 幅 50cm, 深さ 90cm の水槽に造波板をとりつけたもので、板の支点は上下可変としているので長波を造ることができるようになっている。

汚泥の挙動の測定 汚泥中ににおけるエネルギー消費を求める場合には汚泥厚を波長以上にするようにし、渾水波にはるようとした。また重複波のもとでの汚泥の撹き上げ実験では汚泥厚さ 1.5cm, 波長 8m とした。実験では VTR を用いて 1/100sec きざみの時間とともに録画し、位相再生により波高、波数、位相等を求めた。

試料 armor による影響を除くために上水汚泥を使用した。圓形物体の比重は 2.62, 強熱減量は 23.6% である。

## III. 実験結果および考察

① 降伏応力と塑性粘度 管路中に汚泥を流すことにより求めた降伏応力  $\tau_0$  およびコーンプレート型粘度計により求めた撹き上げ直前の剪断応力  $\tau_0$  と汚泥密度  $\rho_s$  との関係を図-1 に示す。両者の差は汚泥が純粋の Bingham 体にはなっていないことを示している。 $\tau_0$  は 1 dyn/cm<sup>2</sup> 程度であり活性汚泥の約 2 倍、実際の河川底泥の活性程度になつてゐる。塑性粘度を図-2 に示す。圓形物体濃度の 2.5 倍以上に  $\mu_p$  が増しているので、この図-1 ○ 管路による。● コーンプレート型粘度計による汚泥はかなりフロック化していことを解説。

② 汚泥中ににおけるエネルギー消費 汚泥の撹き上げは水流から汚泥へエネルギーが伝達して生じるので、汚泥中のエネルギー消費の状態を知る必要がある。汚泥は Bingham 体に近い性質を示すので現象は線形ではなくなり、複雑になるので、ここでは、簡単化のために、汚泥のみで運動を作り、振幅の減少率から、汚泥を粘性流体とみなした場合の粘性係数を求めた。振幅の減少状態の例を図-3 に示す。a/入は振幅と波長の比である。 $2a/\lambda$  が小さくなると減少率が大きくなるのは、(水温は、図-1, 2 とも 5.0°C である。) Bingham 体としての性質が現れてきていくためと考えられる。一方汚泥の流線は理想流体のものと近似的に同じであると仮定すれば、

$$\phi = -2a\theta/\lambda \cdot e^{kt} \cos kx \sin \theta t \quad (1) \quad \theta: \text{角速度}, \lambda: \text{波数}, \text{中: 重複波のポテンシャル}$$

$$G = 2\sqrt{\phi/\theta} = 4ak\theta e^{kt} \quad (2) \quad \theta: \text{歪テンソル}$$

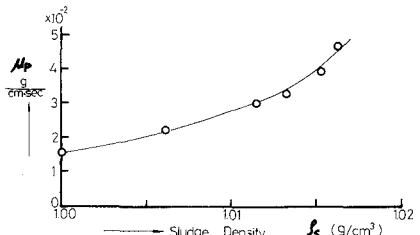
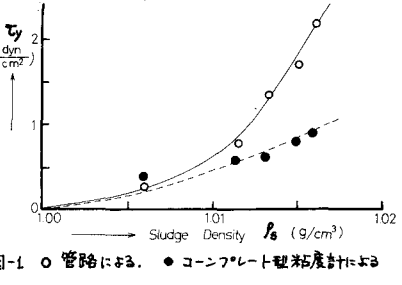


図-2  $\mu_p$  と  $\rho_s$  の関係。  
 と  $2a/\lambda$  が小さくなると減少率が大きくなるのは、(水温は、図-1, 2 とも 5.0°C である。)

として、エネルギー消費率 $\gamma$ 、つまり $2\mu_a R^2$  ( $\mu_a$ :見かけ動粘性係数)は

$$\gamma = \frac{\int_0^\infty (\tau_y + \mu_p G) G dG}{\rho_s g a^2} = 4 \left( \frac{\tau_y}{a k \delta \rho_s} + \nu_p \right) R^2 \quad (3)$$

となる。図-4に実験から求めたものと、この近似計算の結果(実線)とを示す。同一系列の実験において振幅が小さくなると見かけ動粘性係数は計算結果の $1/2$ に近くなる。また、実際のエネルギー消費はやはりよりものが卓越していると考えてさしつかえない。

①重複波のもとでの汚泥の挙動 一様流のもとでの汚泥の巻き上げ実験では汚泥が一度掻流されると実験の継続が困難になる等汚泥の性質の把握には不向きな点が多いのでここでは重複波を用いた。汚泥厚を波長程度に大きくすると水層との合成振動を生じるのでここでは汚泥厚 $1.5\text{ cm}$ 、波長 $8\text{ m}$ 、水深 $11\text{ cm}$ と固定し節の部分の一様流れに近いところに着目した。汚泥表面に波動が生じる程度の波速のもとでは、汚泥層は二層に分かれ。水層と接する上層部は粘性流体の如く水層の運動とともにまっすぐ流動する。下層部はある程度圧密もすすみ弹性体の如く振舞う。この上・下二層は明確に識別できる。上層の厚さは、下層の汚泥密度、流速にあまり関係せず、ほぼ $5\text{ mm}$ の一一定値をとる。また水-汚泥界面に発生するrippleの波数は図-5に示すように $1\sim 2\text{ cm}^{-1}$ で $Re$ (水表面流速と水深を基準とする)が大きくなるとやや減少する傾向にある。この波数が下層の汚泥密度の影響をほとんど受けないと、おもじり層厚がほとんど一定してあることから、上層の汚泥密度はほとんど一定値をとるものと考えられる。界面に発生するrippleの形状は流速の増加期においてはほぼsine-waveに近いが流速が最大を過ぎたところで波形がくずれ碎波状態になる。これは波の変位の位相より汚泥界面の位相の方が(流速の位相は変位より常に後進している)下層の弹性体の影響を受け常に進んでいる影響による。汚泥の下層の厚さを $h_c$ 、剛性率を $G_c$ 、上層の厚さを $h_b$ 、見かけ粘性係数を $\mu_b$ 、波動の角速度を $\omega$ 、水の動粘性係数を $\mu_w$ とした時の汚泥表面における速度(破線)及び剪断応力(実線)と水層の無限上方の変位との位相差を求めたものが図-6である。実験によって求めた汚泥表面と水表面との変位あるいは速度の位相差は、流速の増加とともに増大するが平均的にはほんの $0.2\pi$ で、この値から汚泥下層の剛性率 $G_c$ は約 $0.1\text{ dyn/cm}^2$ となる。実際の流れの場合においても、巻き上げ直前には汚泥層は二層に分けられ、上述と同じ現象が生じているものと考えられる。乱流場においては、流れによる応力変化の周期が短いため、汚泥の緩和時間も問題にならると思われる。この点については今後検討を加えたい。

参考文献

- 1) 楠田、山崎、田中、栗谷: 汚泥汚泥の巻き上げに関する基礎的研究、下水協誌 Vol.13, No.144, 1976.5. 111-116
- 2) 石川: 流れによる汚泥浮上と水質の関連; 第18回水理講演会講演集 1974.2. 1121-1126

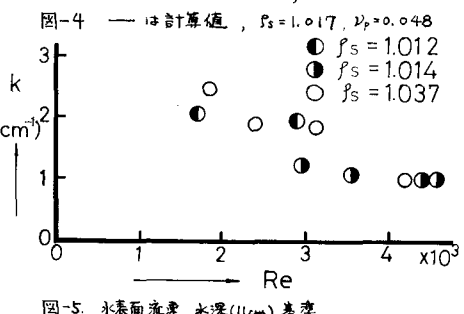
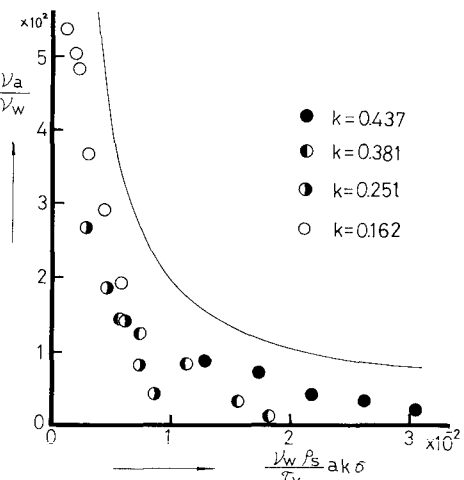
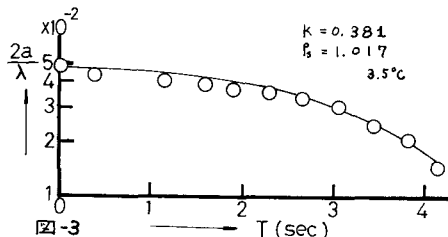


図-5. 水表面流速、水深(11cm) 基準

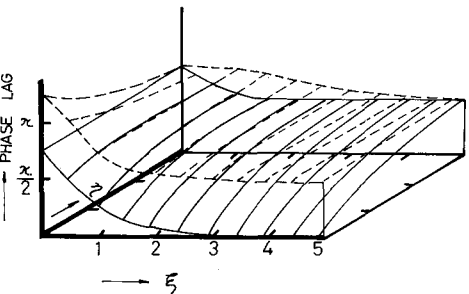


図-6 --- 水-汚泥界面の流速の位相差  
— 水-汚泥界面の剪断力の位相差  
(無限上方の水表面と変位基準)

$$\xi = \mu_w \sqrt{\omega} \omega \frac{d\phi}{G_c}, \quad \eta = \frac{1}{\omega} \frac{G_c}{\mu_w} \frac{h_b}{h_c}$$